

## Problémově orientované úlohy<sup>1)</sup>

Pokud není uvedeno jinak, předpokládejte, že všechny plyny jsou ideální a že se data vztahují k teplotě 298 K.

### Numerické úlohy

**P3.1** Vypočítejte rozdíl molární entropie (a) kapalné vody a ledu při  $-5^{\circ}\text{C}$ , (b) kapalné vody a její páry při  $95^{\circ}\text{C}$  a 101 kPa. Rozdíl tepelných kapacit při tání je  $37,3 \text{ J K}^{-1} \text{ mol}^{-1}$  a při vypařování je  $-41,9 \text{ J K}^{-1} \text{ mol}^{-1}$ . Rozložte mezi změnou entropie vzorku, okolí a celku a diskutujte samovolnost přechodů při těchto dvou teplotách.

**P3.2** Tepelná kapacita chloroformu ( $\text{CHCl}_3$ ) v rozmezí 240 K až 330 K je dána vztahem  $C_{p,m}/(\text{J K}^{-1} \text{ mol}^{-1}) = 91,47 + 7,5 \cdot 10^{-2}(T/K)$ . Při jednom z experimentů byl 1,0 mol  $\text{CHCl}_3$  ohřát z 273 K na 300 K. Vypočítejte změnu molární entropie vzorku.

**P3.3** Blok mědi o hmotnosti 2,00 kg ( $C_{p,m} = 24,44 \text{ J K}^{-1} \text{ mol}^{-1}$ ) a teplotě 0 °C je vpraven do tepelně izolované nádoby obsahující 1,00 mol  $\text{H}_2\text{O(g)}$  při 100 °C a 101 kPa. (a) Za předpokladu, že veškerá pára zkondenzuje, jaká bude konečná teplota systému, teplo převedené z vody do mědi a změna entropie vody, mědi a celého systému? (b) Ve skutečnosti je v rovnováze přítomno určité množství vodní páry. Z tlaku nasycených par vody při teplotě vypočtené v bodě (a) a za předpokladu, že tepelné kapacity kapalné i plynné vody nezávisí na teplotě a jsou dány hodnotami při této teplotě, vypočítejte upřesněné hodnoty konečné teploty, převedeného tepla a jednotlivých změn entropií. (Návod: Přijměte přijatelné approximace.)

**P3.4** Uvažujte ideální plyn uzavřený ve válci a rozdělený do dvou sekcí A a B adiabatickým pístem pohybujícím se bez tření. Všechny změny v B jsou izotermické, to znamená, že sekce B je obklopena termostatem udržujícím konstantní teplotu. V každé sekci je 2,00 mol plynu. Na počátku je  $T_A = T_B = 300 \text{ K}$ ,  $V_A = V_B = 2,00 \text{ dm}^3$ . Energie ve formě tepla je dodávána do sekce A a píst se pohybuje doprava vratně, až objem sekce B poklesne na 1,00 dm<sup>3</sup>. Vypočítejte (a)  $\Delta S_A$  a  $\Delta S_B$ , (b)  $\Delta A_A$  a  $\Delta A_B$ , (c)  $\Delta G_A$  a  $\Delta G_B$ , (d)  $\Delta S$  celého systému a jeho okolí. Pokud nelze v některém případě získat číselný výsledek, ukažte, zda by hodnota měla být kladná, záporná či nulová nebo ji z daných informací nelze určit (předpokládejte  $C_{V,m} = 20 \text{ J K}^{-1} \text{ mol}^{-1}$ ).

**P3.5** Uvažujte Carnotův cyklus, který používá jako pracovní látku 1,00 mol jednoatomového ideálního plynu a vychází z počátečního stavu 1 MPa a 600 K. Expanduje izotermicky na tlak 0,1 MPa (Krok 1) a potom adiabaticky na teplotu 300 K (Krok 2). Tato expanze je následována izotermickou kompresí (Krok 3) a potom adiabatickou kompresí (Krok 4) zpět do počátečního stavu. Určete hodnoty  $q$ ,  $w$ ,  $\Delta U$ ,  $\Delta H$ ,  $\Delta S$ ,  $\Delta S_{tot}$  a  $\Delta G$  pro každý krok cyklu a pro cyklus jako celek. Výsledky uspořádejte do tabulky.

**P3.6** 1,00 mol ideálního plynu při 27 °C je expandován izotermicky z počátečního tlaku 300 kPa na konečný tlak 100 kPa dvěma cestami: (a) vratně, a (b) proti konstantnímu vnějšímu tlaku 100 kPa. Určete hodnoty  $q$ ,  $w$ ,  $\Delta U$ ,  $\Delta H$ ,  $\Delta S$ ,  $\Delta S_{sur}$  a  $\Delta S_{tot}$  pro každou z cest.

**P3.7** Standardní molární entropie  $\text{NH}_3(\text{g})$  je  $192,45 \text{ J K}^{-1} \text{ mol}^{-1}$  při 298 K a jeho tepelná kapacita je dána rovn. (2.25) s koeficienty uvedenými v Tab. 2.2. Vypočítejte standardní molární entropii při (a) 100 °C a (b) 500 °C.

**P3.8** Měděný blok o hmotnosti 500 g a původní teplotě 293 K je v tepelném kontaktu s elektrickým topením, které má odpor 1,00 kΩ a zanedbatelnou hmotnost. Proud 1,00 A jím prochází 15 s. Vypočítejte změnu entropie mědi, použijte-li  $C_{p,m} = 24,4 \text{ J K}^{-1} \text{ mol}^{-1}$ . Experiment je následně zopakován s tím, že měděný blok je ponoren v proudu vody, který udržuje jeho teplotu při 293 K. Vypočítejte změnu entropie mědi a vody v tomto případě.

<sup>1)</sup> Úlohy označené symbolem ‡ poskytly Charles Trapp, Carmen Guinta a Marshall Cady.

**P3.9** Odvoďte vztah pro změnu entropie, když jsou dva bloky stejné látky o stejně hmotnosti, jeden při teplotě  $T_h$  druhý při  $T_c$ , přivedeny do tepelného kontaktu a ponechány, aby dosáhly rovnováhy. Vyčíslte změnu pro dva měděné bloky, každý o hmotnosti 500 g, s  $C_{p,m} = 24,4 \text{ J K}^{-1} \text{ mol}^{-1}$ , vezmete-li  $T_h = 500 \text{ K}$  a  $T_c = 250 \text{ K}$ .

**P3.10** Chování plynného vzorku o látkovém množství 1,00 mol je popsáno stavovou rovnicí  $pV_m = RT(1 + Bp)$ . S výchozí teplotou 373 K plyn projde Jouleovou-Thomsonovou expanzí z 10 MPa na 0,1 MPa. Je-li dáno  $C_{p,m} = (5/2)R$ ,  $\mu = 2,1 \text{ K MPa}^{-1}$ ,  $B = -5,25(K/T) \text{ MPa}^{-1}$ , vypočítejte  $\Delta T$  a  $\Delta S$ .

**P3.11** Molární tepelná kapacita olova se mění s teplotou následovně:

T/K	10	15	20	25	30	50
$C_{p,m}/(\text{J K}^{-1} \text{ mol}^{-1})$	2,8	7,0	10,8	14,1	16,5	21,4
T/K	70	100	150	200	250	298
$C_{p,m}/(\text{J K}^{-1} \text{ mol}^{-1})$	23,3	24,5	25,3	25,8	26,2	26,6

Vypočítejte standardní absolutní entropii olova při (a) 0 °C a (b) 25 °C.

**P3.12** Ze standardních slučovacích entalpií, standardních entropií a standardních tepelných kapacit uvedených v tabulkách v části Data, vypočítejte standardní entalpie a entropie při 298 K a 398 K pro reakci  $\text{CO}_2(\text{g}) + \text{H}_2(\text{g}) \rightarrow \text{CO}(\text{g}) + \text{H}_2\text{O(g)}$ . Předpokládejte, že v daném teplotním oboru jsou tepelné kapacity konstantní.

**P3.13** Tepelná kapacita hexakyanoželeznatanu draselného se mění s teplotou následovně:

T/K	$C_{p,m}/(\text{J K}^{-1} \text{ mol}^{-1})$	T/K	$C_{p,m}/(\text{J K}^{-1} \text{ mol}^{-1})$
10	2,09	90	165,3
20	14,43	100	179,6
30	36,44	110	192,8
40	62,55	150	237,6
50	87,03	160	247,3
60	111,0	170	256,5
70	131,4	180	265,1
80	149,4	190	273,0
		200	280,3

Pro tu látku vypočítejte při každé z uvedených teplot molární entalpii relativně vůči její hodnotě při  $T = 0$  a absolutní entropii.

**P3.14** Látka 1,3,5-trichlor-2,4,6-trifluorbenzen je meziproductem při konverzi hexachlorbenzenu na hexafluorbenzen a její termodynamické vlastnosti byly zkoumány měřením její tepelné kapacity v širokém oboru teplot (Andon, R. L.; Martin, J. F. J. Chem. Soc. Faraday Trans. 1973, I, 871). Vybraná data ukazují následující tabulku:

T/K	14,14	16,33	20,03	31,15	44,08	64,81
$C_{p,m}/(\text{J K}^{-1} \text{ mol}^{-1})$	9,492	12,70	18,18	32,54	46,86	66,36
T/K	100,90	140,86	183,59	225,10	262,99	298,06
$C_{p,m}/(\text{J K}^{-1} \text{ mol}^{-1})$	95,05	121,3	144,4	163,7	180,2	196,4

Vypočítejte molární entalpii relativně vůči její hodnotě při  $T = 0$  a absolutní entropii této látky při uvedených teplotách.

**P3.15‡** Jestliže pro bismut je  $S_m^\circ = 29,79 \text{ J K}^{-1} \text{ mol}^{-1}$  při 100 K a použijete-li následující tabelované údaje o jeho tepelné kapacitě (Archer, D. G. J. Chem. Eng. Data 1995, 40, 1015), vypočítejte standardní molární entropii bismutu při 200 K.

T/K	100	120	140	150	160	180	200
$C_{p,m}/(\text{J K}^{-1} \text{ mol}^{-1})$	23,00	23,74	24,25	24,44	24,61	24,89	25,11

Porovnejte tuto hodnotu s hodnotou, kterou byste dostali, kdybyste v daném teplotním rozmezí uvažovali konstantní tepelnou kapacitu  $24,44 \text{ J K}^{-1} \text{ mol}^{-1}$ .

**P3.16** Vypočítejte na základě Gibbsovy–Helmholtzovy rovnice  $\Delta_f G^\circ(375 \text{ K})$  reakce  $2 \text{ CO(g)} + \text{O}_2(\text{g}) \rightarrow 2 \text{ CO(g)}$  z hodnot  $\Delta_f G^\circ(298 \text{ K})$  a  $\Delta_f H^\circ(298 \text{ K})$ .

**P3.17** Odhadněte standardní Gibbsova energii reakce  $\text{N}_2(\text{g}) + 3 \text{ H}_2(\text{g}) \rightarrow 2 \text{ NH}_3(\text{g})$  při (a) 500 K, (b) 1 000 K z hodnot termochemických veličin při 298 K.

**P3.18** Kompresibilní faktor kyslíku se při 200 K mění s tlakem tak, jak ukazuje tabulka.

p/MPa	0,1	0,4	0,7	1,0	4,0	7,0	10,0
Z	0,99710	0,98796	0,97880	0,96956	0,8734	0,7764	0,6871

Vyhodnoťte fugacitu kyslíku při této teplotě a 10 MPa.

### Theoretické úlohy

**P3.19** Zakreslete Carnotův cyklus v diagramu  $T-S$  a ukažte, že plocha vymezená cyklem je rovna vykonané práci.

**P3.20** Dokažte, že

samotná vodní pára je skleníkovým plynem, vzrůst obsahu vodních par v atmosféře vyvolává značné obavy expertů ohledně změny klimatu. Předpovězte relativní vzrůst obsahu vodní páry v atmosféře, odpovídající vzrůstu teploty o 2,0 K a předpokladu, že relativní vlhkost zůstane stejná. (Současná globální průměrná teplota je 290 K a rovnovážný tlak par vody při této teplotě je 1,89 kPa.)

**P3.40‡** Hydráty kyseliny dusičné se staly středem pozornosti jako možné katalyzátory heterogenních reakcí, jež způsobují ozonovou díru v Antarktidě. Worsnop a kol. zkoumali termodynamickou stabilitu těchto hydrátů za podmínek typických pro polární zimní stratosféru (*Science* 1993, 259, 71). Uvádějí termodynamická data pro sublimaci mono-, di-, a trihydrátu kyseliny dusičné a vodní páry,  $\text{HNO}_3 \cdot n\text{H}_2\text{O}(\text{s}) \rightarrow \text{HNO}_3(\text{g}) + n\text{H}_2\text{O}(\text{g})$ , pro  $n = 1, 2, \text{ a } 3$ . Jsou-li dány  $\Delta_rG^\circ$  a  $\Delta_rH^\circ$  pro tyto reakce při 220 K, použijte Gibbsovu–Helmholtzovu rovnici a vypočítejte  $\Delta_rG^\circ$  při 190 K.

$n$	1	2	3
$\Delta_rG^\circ/\text{kJ mol}^{-1}$	46,2	69,4	93,2
$\Delta_rH^\circ/\text{kJ mol}^{-1}$	127	188	237

**P3.41‡** J. Gao a J. H. Weiner ve své studii zabývající se vznikem napětí na atomární úrovni v hustých polymerech (*Science* 1994, 266, 748), zjistili, že tažná síla potřebná k udržení délky / dlouhého lineárního řetězce  $N$  volně spojených článků, každý o délce  $a$ , má entropickou příčinu. Pro takový řetězec platí  $S(l) = -3kl^2/2Na^2 + C$ , kde  $k$  je Boltzmannova konstanta a  $C$  je jiná, blíže neurčená konstanta. S použitím termodynamických vztahů z této kapitoly a předchozích kapitol ukažte, že tažná síla sleduje Hookův zákon,  $f = -k_l l$ , pokud předpokládáme, že energie  $U$  nezávisí na  $l$ .

**P3.42** Předpokládejte, že palivem spalovacího motoru je oktan, jehož spalná entalpie je  $-5\ 512 \text{ kJ mol}^{-1}$ . Hmotnost jednoho galonu tohoto paliva považujte za rovnou 3 kg. Jaká je maximální výška, při zanedbání

všech druhů tření, do které může vystoupat auto o hmotnosti 1 000 kg s 1,00 gallonem paliva, je-li teplota válce motoru je 2 000 °C a teplota výfukových plynů 800 °C? (1 gallon = 3,785 dm<sup>3</sup>).

**P3.43** Cyklus využívaný spalovacím motorem se označuje jako Ottův cyklus. Jako pracovní látku lze uvažovat vzduch a přepokládat, že se chová jako ideální plyn. Cyklus sestává z následujících kroků: (1) vrata adiabatická komprese z A do B, (2) vrata izochorický vzrůst tlaku z B do C způsobený splájením malého množství paliva, (3) vrata adiabatická expenze z C do D, (4) vrata izochorický pokles tlaku zpět do stavu A. Určete změnu entropie (systému i okolí) pro každý krok cyklu a odvodte vztah pro účinnost cyklu, za předpokladu, že se teplo dodává v kroku 2. Vyhodnotěte účinnost pro kompresní poměr 10:1. Předpokládejte, že ve stavu A je  $V = 4,00 \text{ dm}^3$ ,  $p = 0,1 \text{ MPa}$  a  $T = 300 \text{ K}$ , a dále, že  $V_A = 10V_B$ ,  $C_p/C_B = 5$  a  $C_{p,m} = (7/2)R$ .

**P3.44** K výpočtu práce potřebné ke snížení teploty předmětu je třeba vzít v úvahu, jak se koeficient hospodárnosti mění s teplotou předmětu. (a) Odvodte vztah pro práci potřebnou k ochlazení předmětu z  $T_i$  na  $T_f$ , je-li chladnička v místnosti o teplotě  $T_h$ . (Návod: Vyjděte z  $dW = dq/c(T)$ , vyjádřete  $dq$  pomocí  $dT$  s využitím tepelné kapacity  $C_p$  a integrujte získaný výraz. Předpokládejte, že tepelná kapacita je v uvažovaném teplotním rozsahu nezávislá na teplotě.) (b) Použijte výsledek z části (a) k výpočtu práce potřebné ke zmrazení 250 g vody v chladničce, jež je v místnosti s teplotou 293 K. Jak to bude dlouho trvat, je-li příkon chladničky 100 W?

**P3.45** Vztahy platné pro chladničky popisují také chování tepelných čerpadel, kde se teplo získává ze zadní strany chladicího agregátu, zatímco přední ochlazuje okolní svět. Tepelná čerpadla se vzhledem ke své účinnosti stala oblíbeným zařízením pro domácí vytápění. Porovnejte vytápění místnosti při 295 K oběma metodami: (a) přímou přeměnou 1,00 kJ elektrické energie v elektrickém topení, (b) užitím 1,00 kJ elektrické energie k chodu vratného tepelného čerpadla při vnější teplotě 260 K. Objasněte, v čem tkví rozdílná velikost energie, jež je dodána do interiéru domu těmito dvěma metodami.

# Fázové přechody čistých látek

## 4

### Fázové přechody čistých látek

#### 4.1 Fázové diagramy

4.1.1 Fázová stabilita

4.1.2 Koexistenční křivky

4.1.3 Tři typické fázové diagramy

I-4.1 Využití v technologii. Nadkritické tekutiny

#### 4.2 Termodynamické aspekty fázových přechodů

4.2.1 Závislost stability na podmínkách

4.2.2 Poloha koexistenčních křivek

4.2.3 Ehrenfestova klasifikace fázových přechodů

Seznam nejdůležitějších vztahů

Otzázkы

Cvičení

Problémově orientované úlohy

### 4.1 Fázové diagramy

Fázové diagramy jsou názorným a velmi výstižným způsobem popisu fyzikálních stavových přeměn. To, co se zde naučíme, bude i podkladem pro vysvětlení chování směsí v Kap. 5.

#### 4.1.1 Fázová stabilita

##### Důležité pojmy:

- Fáze látky je formou hmoty, která má ve všech svých částech stejně chemické složení a stejný fyzikální stav.
- Fázový přechod je samovolnou přeměnou jedné fáze v jinou; lze ho studovat různými experimentálními technikami, u kondenzovaných fází zejména termickou analýzou.
- Termodynamický popis koexistujících fází je založen na skutečnosti, že v rovnováze je chemický potenciál látky stejný ve všech částech vzorku.

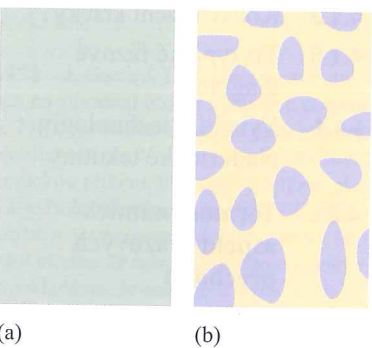
Termodynamika opatřuje účinné prostředky k popisu i k pochopení stability a přeměny fází, tyto obecné formulace je však třeba pro konkrétní aplikaci správně uplatnit.

##### 4.1.1.1 Počet fází

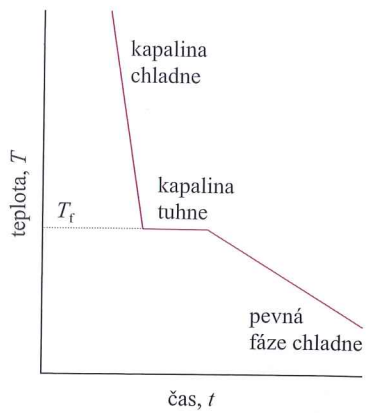
Fáze látky je formou hmoty, jež je jednotná ve svém chemickém složení i fyzikálním stavu ve všech svých částech. Podle této definice tedy hovoříme o pevné, kapalné a plynné fázi a také o různých pevných fázích dané látky, jako jsou např. bílý a červený alotrop fosforu nebo polymorfy aragonit a kalcit uhličitanu vápenatého.

**Správné použití:** Alotrop je jednou z možných modifikací výskytu prvku (např. O<sub>2</sub> a O<sub>3</sub>) a může být v pevném, kapalném nebo plynném skupenství.

**Polymorf** je jednou z několika pevných fází prvku nebo sloučeniny.



**Obr. 4.1:** Rozdíl mezi homogenním roztokem, jehož složení je jednotné v mikroskopickém měřítku (a) a disperzí, v níž se nacházejí enklávy jedné složky v matrici druhé složky (b)



**Obr. 4.2:** Křivka chladnutí při konstantním tlaku. Prodleva odpovídá pauze v poklesu teploty při exotermickém fázovém přechodu prvního řádu (tuhnutí). Prodleva dovoluje určit  $T_f$  i v takových případech, kdy přechod nelze pozorovat vizuálně

Počet fází v systému označme  $P$ . Plyn nebo plynná směs představuje jednu fázi ( $P = 1$ ), krystal čisté látky je jednou fázi a dvě zcela mísitelné kapaliny tvoří také jednu fázi. Roztok chloridu sodného ve vodě představuje rovněž jednu fázi. Led je jednou fázi, i když je rozdroben do malých úlomků. Břečka z ledu a vody je dvoufázový systém ( $P = 2$ ), přestože je v tomto případě obtížné zmapovat fyzikální hranice mezi fázemi. Systém, v němž probíhá tepelný rozklad uhličitanu vápenatého



sezostává ze dvou pevných fází (jednu tvoří uhličitan vápenatý a druhou oxid vápenatý) a jedné plynné fáze (tvořené oxidem uhličitým) ( $P = 3$ ).

Dva kovy, pokud jsou nemísitelné, tvoří dvoufázový systém ( $P = 2$ ), ale pokud jsou mísitelné, vzniká jednofázový systém ( $P = 1$ ), tedy slitina. Tento příklad ukazuje, že není vždy jednoduché rozhodnout, zda se systém skládá z jedné fáze nebo dvou. Roztok pevné látky B v pevné látce A, tedy homogenní směs těchto dvou látok, je z molekulového pohledu jednotný. V roztoce jsou molekuly A obklopeny molekulami A a B a jakýkoli vzorek vyříznutý z tohoto vzorku, dokonce i mikroskopicky malý, reprezentuje složení celku.

Disperze je jednotná v makroskopickém měřítku, ale nikoli v měřítku mikroskopickém, neboť ji tvoří zrnka či kapičky jedné látky v matrici druhé látky. Malý vzorek odebraný z disperze by mohl pocházet jen z jednoho drobného zrnka čisté látky A a nereprezentoval by tak celek (viz Obr. 4.1). Disperze mají důležitou roli v mnoha moderních materiálech (včetně ocelí), kde se precipitace jemných částeček jedné fáze (např. karbidové) v matrici tvořené nasyceným pevným roztočem dosahuje tepelným zpracováním. Jsme-li schopni řídit tuto mikrostrukturu vyplývající z fázových rovnováh, můžeme potom nastavovat mechanické vlastnosti materiálů přímo na míru dané aplikaci.

### 4.1.1.2 Fázové přechody

**Fázový přechod**, samovolná přeměna jedné fáze na jinou fázi, nastává při daném tlaku při určité charakteristické teplotě. Tak například při normálním tlaku je led stabilní fází pod 0 °C, ale nad 0 °C je stabilnější kapalná voda. Toto rozdílné chování naznačuje, že při teplotách pod 0 °C se Gibbsova energie snižuje, mění-li se kapalná voda v led, zatímco při teplotách nad 0 °C dochází k poklesu Gibbsovy energie, mění-li se naopak led v kapalnou vodu. Teplota fázového přechodu,  $T_{\text{trs}}$ , je teplota, při níž jsou tyto dvě fáze v rovnováze, a Gibbsova energie systému dosahuje svého minima za daného tlaku.

Zjistit fázový přechod není vždy tak snadné, jako když vidíme vřít vodu v konvici, a tak byly k tomuto účelu vyuvinuty speciální techniky. Jednou z nich je **termická analýza**, která využívá toho, že při každém přechodu se uvolňuje či pohlcuje teplo. Fázový přechod je charakterizován tím, že se teplota nemění, přestože je vzorek dodáván nebo odebíráno teplo (viz Obr. 4.2). Je možné užít i sofistikovanější techniky, např. diferenciální skenovací kalorimetrii (viz část I-2.1). Metody termické analýzy jsou zvláště vhodné pro přechody pevných fází, protože v těchto případech není obvykle jednoduché vizuální pozorování vzorku postačující. Také rentgenová difrakce (viz odst. 19.1.3) odhalí fázový přechod v pevných látkách, jelikož na každé straně teploty fázového přechodu má látka jinou strukturu.

Stejně jako při všech dřívějších musíme rozlišovat mezi **termodynamickým popisem** děje a **rychlostí**, kterou děje probíhá. Fázový přechod, který termodynamika předpovídá jako spontánní, může probíhat příliš pomalu na to, aby byl pro praxi nějak významný. Za běžných teplot a tlaků je např. molární Gibbsova energie grafitu nižší než hodnota pro diamant, takže podle termodynamické tendence by se diamant měl měnit na grafit. Z vlastní zkušenosti víme, že se to však naštěstí neděje. K uskutečnění tohoto přechodu by totiž musely atomy uhlíku změnit své uspořádání, což je v pevné látce neměřitelně pomalý proces, pokud není vystavena vysokým teplotám. Rychlosť dosažení rovnováhy je kinetický problém,

a tedy přesahuje obor termodynamiky. V plynech a kapalinách mobilita molekul dovoluje, aby fázové přechody probíhaly rychle, ale u pevných látok může termodynamická nestabilita „zamrzout“. Termodynamicky nestabilní fáze, které přetrávají díky kinetickým překážkám brzdícím přechod, se nazývají **metastabilní fáze**. Diamant je za běžných podmínek metastabilní fází uhlíku.

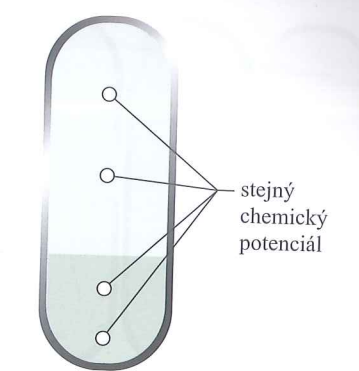
#### 4.1.1.3 Termodynamická kriteria fázové stability

Ve všech úvahách budeme vycházet z Gibbsovy energie látky, konkrétně z její molární Gibbsovy energie,  $G_m$ . Tato veličina bude v této kapitole i v dalším textu tak významná, že ji přiřadíme zvláštní jméno a symbol: **chemický potenciál**,  $\mu$ . Pro jednosložkový systém jsou molární Gibbsova energie a chemický potenciál synonyma označující totéž, takže  $\mu = G_m$ . V kap. 5 však uvidíme, že chemický potenciál má širší význam a obecnější definici. Samotný název chemický potenciál mnohé napovídá –  $\mu$  je totiž mírou schopnosti látky ke změně stavu. Při fázových přeměnách, kterým se věnujeme v této kapitole, odráží hodnota  $\mu$  ochotu látky ke změně stavu fyzikálního. V kap. 6 se zase přesvědčíme, že  $\mu$  vystihuje tendenci látky k chemické přeměně.

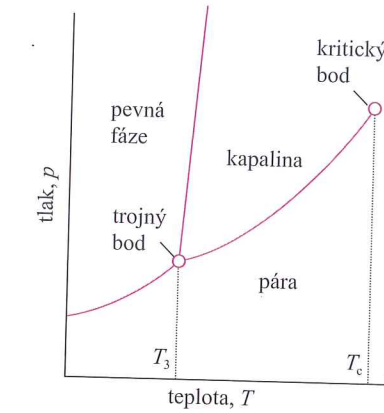
Výklad založíme na tomto důsledku druhého zákona termodynamiky (viz Obr. 4.3):

V rovnováze je chemický potenciál látky stejný ve všech částech vzorku, bez ohledu na počet přítomných fází.

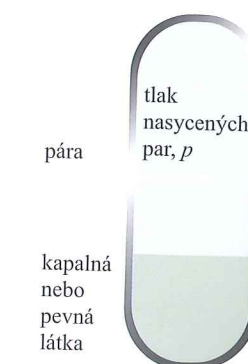
kriterium fázové rovnováhy



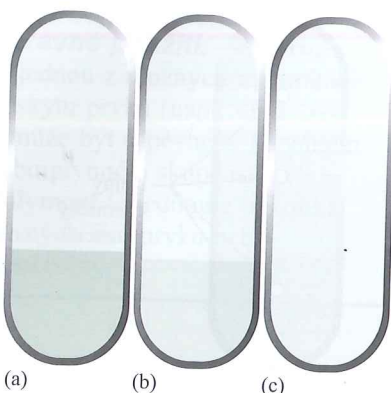
**Obr. 4.3:** Jsou-li dvě nebo více fází v rovnováze, je chemický potenciál látky (nebo v případě směsi chemický potenciál složky) stejný v každé fázi (ve všech bodech každé fáze)



**Obr. 4.4:** V tomto schematickém fázovém diagramu jsou znázorněny oblasti tlaku a teploty, kde jsou stabilní (tj. mají nejnižší molární Gibbsovou energii) pevná, kapalná a plynná fáze. Například pevná fáze je nejstabilnější za nízkých teplot a vysokých tlaků. Hranice mezi oblastmi přesně vymezíme v dalším textu



**Obr. 4.5:** Tlak nasycených par kapaliny nebo pevné látky je tlak, který vyvíjí pára, jež je v rovnováze s touto kondenzovanou fází



**Obr. 4.6:** (a) Kapalina v rovnováze se svou párou. (b) Je-li kapalina zahřívána v uzavřené nádobě, hustota parní fáze roste a hustota kapalné fáze mírně klesá. Tak dojde ke stavu (c), ve kterém jsou si obě hustoty rovny a fázové rozhraní mezi tekutinami vymizí – to nastává při kritické teplotě. Je třeba, aby nádoba byla dostatečně pevná – např. kritická teplota vody je 374 °C a odpovídající tlak páry (kritický tlak) je 22 MPa.

tlak nasycených par kapaliny s teplotou. Analogicky koexistenční křivka pevná fáze–pára reprezentuje teplotní závislost **sublimačního tlaku nasycených par**, tj. tlaku nasycených par pevné fáze. Tlak nasycených par látky roste s teplotou, jelikož při vyšších teplotách má více molekul dostatečnou energii k úniku z přitažlivých sil svých sousedů.

Když se kapalina zahřívá v otevřené nádobě, odpařuje se ze svého povrchu. Dosáhne-li tlak nasycených par vnějšího tlaku, přeměna na páru může probíhat v celém objemu kapaliny a pára může volně expandovat do okolí. Toto volné vypařování probíhající v celém objemu kapaliny se nazývá **var**. Teplota, při níž je tlak nasycených par kapaliny roven vnějšímu tlaku, je teplota varu při daném tlaku. Pro speciální případ vnějšího tlaku 101,325 kPa (1 atm) se teplota varu označuje jako **normální teplota varu**,  $T_b$ . Pokud se místo 101,325 kPa bere jako standardní tlak 100 kPa, pak hovoříme o **standardní teplotě varu**: je to teplota, při které tlak nasycených par dosáhne hodnoty 100 kPa. Protože rozdíl mezi uvedenými hodnotami tlaku je jen malý, je standardní teplota varu kapaliny jen nepatrně nižší než její normální teplota varu (pro vodu je  $T_b = 100,0^\circ\text{C}$  a standardní teplota varu 99,6 °C). Rozlišovat mezi normálními a standardními vlastnostmi musíme zvláště při přesné práci v termodynamice, kdy se termodynamické vlastnosti, které hodláme sečítat, musí vztahovat ke stejným podmínkám.

Je-li kapalina zahřívána v pevné, uzavřené nádobě, k varu nedochází. V tomto případě tlak par, a tedy i jejich hustota, se zvyšováním teploty stále narůstají (viz **Obr. 4.6**). Současně hustota kapaliny mírně klesá v důsledku její teplotní roztažnosti. Při určité teplotě nastane pak stav, kdy se hustota páry vyrovná hustotě kapaliny a rozhraní mezi fázemi vymizí. Teplota, při které tato situace nastane, je **kritická teplota**,  $T_c$ , dané látky. S touto vlastností jsme se poprvé setkali v **odst. 1.2.1.4**. Tlak nasycených par při kritické teplotě se nazývá **kritický tlak**,  $p_c$ . Při kritické teplotě a nad ní vyplní celý objem nádoby jediná homogenní fáze, označovaná jako nadkritická tekutina, a žádné fázové rozhraní již neexistuje. To znamená, že nad kritickou teplotou kapalná fáze látky neexistuje.

Teplota, při které jsou za daného tlaku v rovnováze kapalná a pevná fáze látky, se nazývá **teplota tání látky**. Protože čistá látka taje i tuhne při přesně stejné teplotě, je teplota tání rovna teplotě **tuhnutí**. Teplota tuhnutí látky za tlaku 101,325 kPa (1 atm) se označuje jako **normální teplota tuhnutí**,  $T_f$ , a její teplota tuhnutí za tlaku 100 kPa jako **standardní teplota tuhnutí**. Normální a standardní teploty tuhnutí se většině případů liší naprostě zanedbatelně. Normální teplota tuhnutí se také označuje jako **normální teplota tání**.

Za určitých podmínek mohou vedle sebe být v rovnováze tři různé fáze látky (typickým příkladem je koexistence pevné, kapalné a plynné fáze). Tyto podmínky jsou reprezentovány **trojným bodem**, což je bod, ve kterém se setkávají tři koexistenční křivky. Teplotu trojného bodu budeme značit  $T_3$ . Trojný bod nelze nijak měnit: nastává při jediném určitém tlaku a jediné určité teplotě, které jsou pro látku charakteristické. Trojný bod vody je určen teplotou 273,16 K a tlakem 611 Pa.

Tři skupenství vody (led, kapalná voda a vodní pára) nemohou koexistovat při žádné jiné kombinaci tlaku a teploty. Této invariantnosti trojného bodu je využito v definici termodynamické teplotní stupnice (viz **odst. 3.1.2.4**).

Jak vidíme z **Obr. 4.4**, trojný bod udává nejnižší tlak, při kterém může daná látka existovat v kapalném stavu. Pokud je sklon koexistenční křivky pevná fáze–kapalina takový, jak obrázek ukazuje ( $dp/dT > 0$ ), což odpovídá naprostě většině látek, pak trojný bod udává i nejnižší teplotu, při níž může kapalina existovat; horní hranicí je kritická teplota.

#### 4.1.2.2 Fázové pravidlo

**Fázové pravidlo** odvodil jednou z nejellegantnějších argumentací celé chemické termodynamiky J. W. Gibbs (odvození uvádíme v **Odůvodnění 4.1**). Udává počet parametrů, které lze nezávisle měnit (alespoň v malém rozsahu), aniž by se

změnil počet fází v rovnováze. Fázové pravidlo představuje obecný vztah mezi počtem stupňů volnosti,  $F$ , počtem složek,  $C$ , a počtem fází v rovnováze,  $P$ , pro systém o jakémkoli složení:

$$F = C - P + 2 \quad \boxed{\text{fázové pravidlo}} \quad (4.1)$$

**Složka** je **chemicky nezávislý** konstituent systému. Počet složek v systému,  $C$ , je minimální počet nezávislých druhů chemických částic (iontů nebo molekul), které jsou nezbytné k určení složení všech fází přítomných v systému. V této kapitole se budeme zabývat jen jednosložkovými systémy ( $C = 1$ ). Slovem **konstituent** je míněn druh chemických částic (angl. *species*, termín „specie“ se někdy používá i v češtině) přítomný v systému. Směs ethanolu a vody má tedy dva konstituenty. Roztok chloridu sodného má tři konstituenty – vodu, ionty  $\text{Na}^+$  a ionty  $\text{Cl}^-$ , ale jen dvě složky, protože nábojová neutralita systému vyžaduje, aby počty iontů  $\text{Na}^+$  i  $\text{Cl}^-$  byly stejné. **Počet stupňů volnosti systému**,  $F$ , je počet intenzivních proměnných, jež je možno nezávisle měnit, aniž se změní počet fází v rovnováze. V jednosložkovém jednofázovém systému ( $C = 1, P = 1$ ) se tlak i teplota mohou nezávisle měnit, aniž by se změnil počet fází, takže  $F = 2$ . O takovém systému říkáme, že je **bivariantní** nebo že má dva stupně volnosti. Pokud jsou ale přítomny dvě fáze v rovnováze (např. kapalina a její pára) v jednosložkovém systému ( $C = 1, P = 2$ ), teplotu můžeme sice měnit dle libosti, ale tato změna teploty vyžaduje určitou odpovídající (tj. závislou) změnu tlaku, aby byl zachován počet fází v rovnováze (nebo můžeme měnit nezávisle tlak, ale musí se odpovídajícím způsobem změnit teplota). To znamená, že v tomto případě se počet stupňů volnosti snížil na 1.

#### Odůvodnění 4.1: Fázové pravidlo

Uvažujme nejprve speciální případ jednosložkového systému, pro který má fázové pravidlo tvar  $F = 3 - P$ . Pro dvě fáze,  $\alpha$  a  $\beta$ , v rovnováze ( $P = 2, F = 1$ ) při daném tlaku a teplotě můžeme zapsat

$$\mu(\alpha; p, T) = \mu(\beta; p, T)$$

(Například jsou-li v rovnováze led a voda, platí pro  $\text{H}_2\text{O}$   $\mu(\text{s}; p, T) = \mu(\text{l}; p, T)$ ). Tato rovnice představuje vazbu mezi  $p$  a  $T$ , takže jen jedna z těchto proměnných je nezávislá (je to právě tak třeba u rovnice  $x + y = xy$ , jež je vztahem pro  $y$  v závislosti na  $x$ ,  $y = x/(x - 1)$ ). Tento výsledek tedy odpovídá  $F = 1$ . Pro tři fáze jednosložkového systému, jež jsou ve vzájemné rovnováze ( $P = 3, F = 0$ ), platí

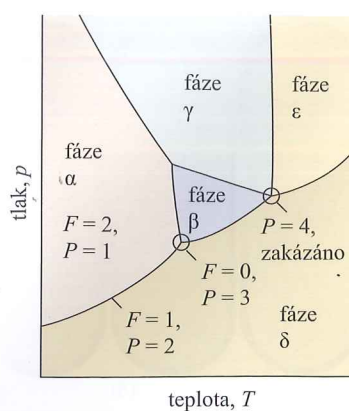
$$\mu(\alpha; p, T) = \mu(\beta; p, T) = \mu(\gamma; p, T)$$

Poslední vztah představuje vlastně dvě rovnice pro dvě neznámé,  $\mu(\alpha; p, T) = \mu(\beta; p, T)$  a  $\mu(\beta; p, T) = \mu(\gamma; p, T)$ , a jejich řešením je proto jedna jediná hodnota  $p$  a jedna jediná hodnota  $T$  (právě tak, jako u soustavy dvou rovnic  $x + y = xy$  a  $3x - y = xy$  je jediným řešením  $x = 2$  a  $y = 2$ ). Tento výsledek odpovídá tedy  $F = 0$ . Čtyři fáze nemohou být ve vzájemné rovnováze v jednosložkovém systému, jelikož následující rovnice

$$\mu(\alpha; p, T) = \mu(\beta; p, T) = \mu(\gamma; p, T) = \mu(\delta; p, T)$$

představují tři rovnice pro dvě neznámé ( $p$  a  $T$ ), které nejsou konzistentní (právě tak, jako  $x + y = xy$ ,  $3x - y = xy$  a  $x + y = 2xy^2$  také nemají žádné řešení).

Nyní uvažujme obecný případ. Začneme tím, že vypočítáme celkový počet intenzivních proměnných. Tlak  $p$  a teplota  $T$  dávají dohromady 2. Složení fáze lze specifikovat udáním molárních zlomků pro  $C - 1$  složek (musíme specifikovat jen  $C - 1$  molárních zlomků, nikoliv všech  $C$ , neboť  $x_1 + x_2 + \dots + x_C = 1$ ). Protože v systému je  $P$  fází, je celkový počet proměnných specifikujících složení  $P(C - 1)$ . V součtu je tedy celkový počet intenzivních proměnných  $P(C - 1) + 2$ .



**Obr. 4.7:** Typické oblasti fázového diagramu jednosložkového systému. Čáry reprezentují podmínky, za kterých jsou sousední dvě fáze v rovnováze. Bod reprezentuje jedinečnou situaci, za které koexistují v rovnováze tři fáze. Čtyři fáze v jednosložkovém systému existovat spolu v rovnováze nemohou.

### 4.1.3 Tři typické fázové diagramy

#### Důležité pojmy:

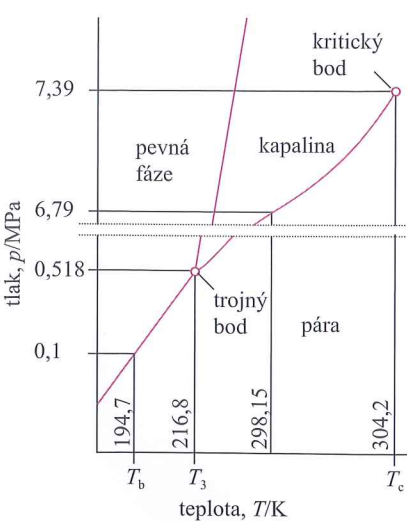
- Oxid uhličitý je typická běžná látka, vykazuje ale rysy chování odpovídající slabým mezmolekulovým silám.
- Voda vykazuje anomálie vyplývající z rozsáhlé tvorby vodíkových vazeb.
- Helium vykazuje anomálie (např. supratekutost), které jsou důsledkem jeho nízké molekulové hmotnosti a slabých mezmolekulových interakcí.

Pro jednosložkový systém, např. pro čistou vodu, platí  $F = 3 - P$ . Je-li přítomna jen jedna fáze, pak  $F = 2$ , a  $p$  i  $T$  lze měnit nezávisle (aspoň v malém rozsahu), aniž se změní počet fází. Jinými slovy jednotlivou fázi reprezentuje ve fázovém diagramu **plocha**. Jsou-li dvě fáze v rovnováze, platí  $F = 1$ , z čehož vyplývá, že při zvolené teplotě tlak již není volně proměnný; samozřejmě, vždyť při dané teplotě má kapalina svůj charakteristický tlak nasycených par. Odtud plyne, že rovnováha dvou fází je ve fázovém diagramu reprezentována **čarou**. Namísto teploty jsme si mohli vybrat tlak, ale v tom případě by pak byly dvě fáze v rovnováze při jedné konkrétní teplotě odpovídající zvolenému tlaku. Takže tuhnutí (nebo kterýkoli jiný fázový přechod) nastává za daného tlaku při jedné určité teplotě.

Jsou-li v rovnováze tři fáze, pak  $F = 0$  a systém je invariantní. Tato zvláštní situace nastane jen při určité teplotě a určitém tlaku, které jsou charakteristické pro danou látku, a my je nemůžeme nijak ovlivnit. Rovnováha tří fází je proto ve fázovém diagramu reprezentována **bodem**, trojným bodem. Čtyři fáze nemohou být v rovnováze v jednosložkovém systému, jelikož  $F$  nemůže být záporné. Tyto obecné charakteristiky jsou shrnutu v **Obr. 4.7** a je třeba je mít na paměti při následující diskusi fázových diagramů tří vybraných látek.

#### 4.1.3.1 Oxid uhličitý

Fázový diagram oxidu uhličitého je uveden na **Obr. 4.8**. Z řady jeho vlastností, které stojí za zmínu, si nejprve povšimněme kladné směrnice koexistenční křivky pevné fáze–kapalina; takový sklon této linie vykazuje většina látek. Říká nám, že teplota tání oxidu uhličitého roste se vzrůstajícím tlakem. Všimněte si také, že trojný bod leží nad hodnotou normálního tlaku, takže při tomto tlaku kapalný oxid uhličitý nemůže existovat při žádné teplotě. Pevný oxid uhličitý po nechaný volně na vzduchu sublimuje (odtud název „suchý led“). K získání kapalného oxidu uhličitého je nutno zvýšit tlak nad 518 kPa. Lahve s oxidem uhličitým obsahují kapalinu nebo stlačený plyn. Pokud jsou plyn a kapalina v rovnováze, odpovídá to při 25 °C tlaku cca 6,8 MPa (67 atm). Je-li plyn vypuštěn ven škrticím ventilem, v důsledku Jouleova koeficientu se ochlazí. Toto ochlazení není dostatečné pro vznik tuhého CO<sub>2</sub> (kapalný CO<sub>2</sub> za normálního tlaku neexistuje, viz **Obr. 4.8**). Postupným odpařováním kapalného CO<sub>2</sub> se však teplota v bombě



**Obr. 4.8:** Experimentální fázový diagram oxidu uhličitého. Všimněte si, že tlak v trojném bodě je výrazně vyšší než tlak atmosférický; kapalný oxid uhličitý za normálních podmínek neexistuje, k tomu je zapotřebí tlak alespoň 518 kPa.

V rovnováze musí být chemický potenciál složky stejný ve všech fázích (viz **odst. 4.2.1**):

$$\mu(\alpha; p, T) = \mu(\beta; p, T) = \dots \text{ pro } P \text{ fází}$$

To znamená, že máme  $P - 1$  rovnic, které je třeba splnit pro každou složku. Jelikož v systému máme  $C$  složek, je celkový počet takových rovnic  $C(P - 1)$ . Každá rovnice snižuje počet intenzivních proměnných, které lze svobodně měnit, o jednu. Odtud tedy plyne, že celkový počet stupňů volnosti je  $F = P(C - 1) + 2 - C(P - 1) = C - P + 2$ , což odpovídá rovnici (4.1).

sniží, a tak po určité době můžeme při expanzi na normální tlak získat tuhý CO<sub>2</sub>, jemně rozptýlený jako sníh.

#### 4.1.3.2 Voda

Fázový diagram vody ukazuje **Obr. 4.9**. Z koexistenční křivky kapalina–pára je vidět, jak se mění tlak nasycených par kapalné vody s teplotou a samozřejmě také jak se mění teplota varu vody s tlakem: tuto teplotu jednoduše odečteme při takovém tlaku nasycených par, který je roven působícímu vnějšímu tlaku. Koexistenční křivka pevné fáze–kapalina ukazuje, jak se mění teplota tání s tlakem. Její velmi strmý sklon napovídá, že i na malou změnu je potřeba enormě vysokých tlaků. Tato čára má až do 200 MPa zápornou směrnici, což znamená, že teplota tání klesá s rostoucím tlakem. Příčinu tohoto velice neobvyklého chování je třeba hledat v tom, že při tání ledu se objem zmenšuje a pro pevnou fázi je tedy výhodnější přeměňovat se s rostoucím tlakem na fázi kapalnou. Pokles objemu při tání je důsledkem velmi otevřené krystalické struktury ledu: jak vidíme z **Obr. 4.10**, vzdálenosti mezi molekulami vody jsou v této struktuře udržovány vodíkovými vazbami. Při tání se ale tato struktura částečně bortí, proto má kapalná voda větší hustotu než ledu. Rozsáhlá tvorba vodíkových vazeb mezi molekulami vody se odraží v řadě dalších jejich vlastností, např. výjimečně vysoké teplotě varu a vysokých hodnotách kritické teploty a tlaku vody ve srovnání s látkami s podobnou molární hmotností.

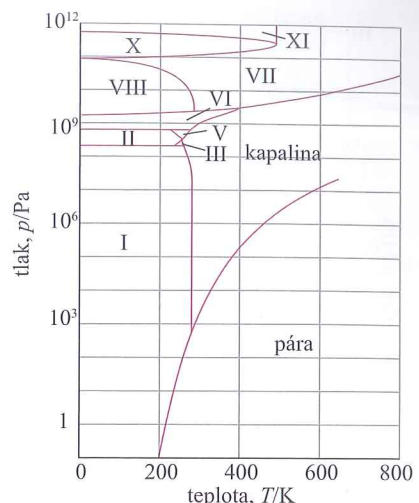
Na **Obr. 4.9** také vidíme, že voda má jednu kapalnou fázi, ale vedle obyčejného ledu (Leden I) existuje i řada dalších pevných fází. Některé z nich tají při vysokých teplotách (např. Led VII taje při 100 °C, ale existuje jen za tlaků vyšších než 2,5 GPa). Dvě další fáze, Led XIII a XIV, byly identifikovány v roce 2006 při -160 °C, ale oblasti jejich existence ještě nebyly vymezeny. Všimněte si, že ve fázovém diagramu vody se vedle trojněho bodu, v němž koexistují pára, kapalná voda a Led I, vyskytují i četné další trojné body. Každý z nich nastává při určité hodnotě teploty a tlaku, které jsou neměnné. Různé tuhé fáze vody se liší uspořádáním molekul vody v krystalické struktuře: pod vlivem velmi vysokých tlaků se vodíkové vazby ohýbají a molekuly vody pak zaujmají jiná uspořádání. Znalost chování polymorfů ledu může přispět k objasnění pohybu ledovců, neboť led na spodu ledovce, spočívající na ostrých hranách skal, je vystaven velmi vysokým tlakům.

#### 4.1.3.3 Helium

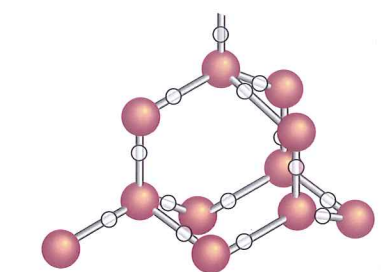
V úvahách o heliu při nízkých teplotách je třeba rozlišovat mezi izotopy <sup>3</sup>He a <sup>4</sup>He. Na **Obr. 4.11** je znázorněn fázový diagram izotopu <sup>4</sup>He. Nízká hmotnost atomu helia a malý počet elektronů v atomovém obalu umožňují jen velmi slabé vzájemné interakce mezi atomy a způsobují, že se helium za nízkých teplot chová velmi neobvykle.

Například pevná a plynná fáze helia neexistují nikdy v rovnováze, ať je teplota jakkoli nízká. Atomy helia jsou tak lehké, že vibrují s velkou amplitudou i při velmi nízkých teplotách, takže se pevná fáze jednoduše nemůže vytvořit. Pevné helium lze získat jen tak, že přidržíme jeho atomy u sebe vyšším tlakem. Izotopy helia se chovají odlišně z kvantově-mechanických příčin, které objasníme v **Části 2**.

Cisté helium(4) má dvě kapalné fáze. Fáze označená v diagramu He-I se chová jako normální kapalina; druhá kapalná fáze, He-II, je **supratekutina**. Nazývá se tak proto, že má nulovou viskozitu<sup>1</sup>). Odhalenéme-li od látek tvořících kapalné krystaly, o kterých se zmíníme v části I-5.2, je helium jedinou známou



**Obr. 4.9:** Experimentální fázový diagram vody ukazující různé pevné fáze



**Obr. 4.10:** Fragment struktury ledu (Led I). Každý atom kyslíku je vázán dvěma kovalentními vazbami s atomy vodíku a dvěma vodíkovými vazbami se sousedním kyslíkovým atomem; tak vzniká tetraedrická síť

#### Stručný komentář:

Rozdíl pramení z odlišných jaderných spinů izotopů a Pauliho vylučovacího principu: <sup>4</sup>He má  $I = 0$  a je to boson; <sup>3</sup>He má  $I = \frac{1}{2}$  a je to fermion.

<sup>1</sup>) Nedávné výzkumy naznačují, že voda může mít také supratekutou kapalnou fázi.